

# Bachelorarbeit

Andreas Windorfer

24. Juni 2020

# Inhaltsverzeichnis

<b>1</b>	<b>Tango Baum</b>	<b>3</b>
1.1	Interleave Lower Bound . . . . .	3
1.2	Aufbau des Tango Baum . . . . .	7
1.3	Die <i>access</i> Operation beim Tango Baum . . . . .	8
1.4	Laufzeitanalyse . . . . .	8

# 1 Tango Baum

Der Tango Baum ist ein aus BSTs, den **Hilfsbäumen**, bestehender BST. Auf die Anforderungen an die Hilfsbäume wird in Abschnitt 1.2 eingegangen und mit dem Rot-Schwarz-Baum wird eine mögliche Variante noch detailliert vorgestellt. Der Tango Baum wurde in [1], von Demaine, Harmon, Iacono und Patrascu beschrieben, inklusive eines Beweises über seine  $lg\ lg\ n$ -competitiveness. Ebenfalls in [1] enthalten ist eine als **Interleave Lower Bound** bezeichnete Variation der ersten unteren Schranke von Wilber. Da diese für das Verständnis des Tango Baumes wesentlich ist, wird mit ihr gestartet, bevor es zur Beschreibung der Struktur selbst kommt.

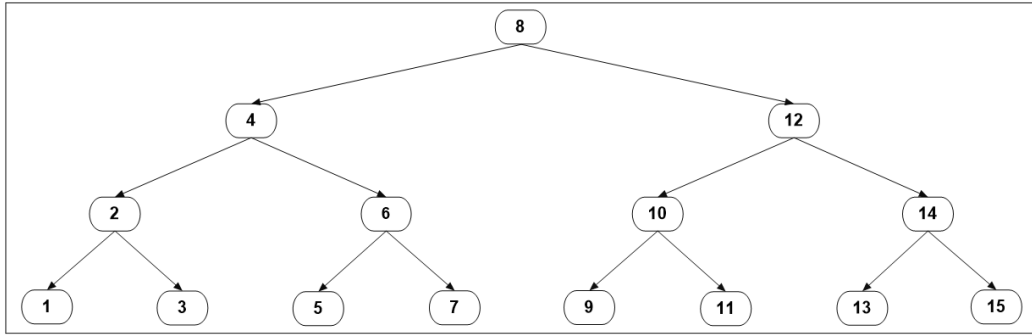
## 1.1 Interleave Lower Bound

Sei  $X$  eine Zugriffsfolge und sei  $K = \{k \in \mathbb{N} | k \text{ ist in } X \text{ enthalten}\}$ . Auch hier wird ein lower bound tree verwendet, dieser ist jedoch etwas anders definiert als in Abschnitt ???. Hier ist der lower bound tree  $Y$  zu einer Zugriffsfolge  $X$ , der komplette BST mit Schlüsselmenge  $K$ . Anders als in Abschnitt ?? gibt es hier somit zu jeder Zugriffssequenz nur genau einen lower bound tree. Abbildung 1 zeigt den lower bound tree zur Zugriffsfolge 1, 2, ..., 15. Zu jedem Knoten  $v$  in  $Y$  werden zwei Mengen definiert. Die **linke Region** von  $v$  enthält den Schlüssel von  $v$ , sowie die im linken Teilbaum von  $v$  enthaltenen Schlüssel. Die **rechte Region** von  $v$  enthält die im rechten Teilbaum von  $v$  enthaltenen Schlüssel. Sei  $l$  der kleinste Schlüssel im Teilbaum mit Wurzel  $v$  und  $r$  der größte. Sei  $X = x_1, x_2, \dots, x_m$  die Zugriffssequenz und  $X_l^r = x_{1'}, x_{2'}, \dots, x_{jm'}$  wie in Abschnitt ??? definiert.  $i \in \{2, 3, \dots, m'\}$  ist ein „**Interleave** durch  $v$ “ wenn  $x_{(i-1)}$  in der linken Region von  $v$  liegt und  $x_i$  in der rechten Region von  $v$ , oder umgekehrt. In  $Y$  sind Knoten enthalten, bei denen die rechte Region leer ist. Durch diese kann es keinen Interleave geben. Sei  $U$  die Menge der Knoten von  $Y$ , mit einer nicht leeren rechten Region. Sei  $inScore(v)$  die Funktion die zu dem Knoten  $v \in U$  die Anzahl der Interleaves durch  $v$  zurückgibt. Die Funktion  $IB(X)$  ist definiert durch:

$$IB(X) = \sum_{u \in U} inScore(u)$$

Sei  $T_0$  der BST mit Schlüsselmenge  $K$  auf  $X$  ausgeführt wird. Für  $i \in \{1, 2, \dots, m\}$  sei  $T_i$  der BST, der entsteht nachdem  $access(x_i)$  auf  $T_{i-1}$  ausgeführt wurde. Zu  $u \in U$  und  $j \in \{0, 1, \dots, m\}$  gibt es einen **transition point**  $v$  in  $T_j$ .  $v$  ist ein Knoten mit folgenden Eigenschaften:

1. Der Pfad von der Wurzel von  $T_j$  zu  $v$  enthält einen Knoten dessen Schlüssel in der linken Region von  $u$  enthalten ist.
2. Der Pfad von der Wurzel von  $T_j$  zu  $v$  enthält einen Knoten dessen Schlüssel in der rechten Region von  $u$  enthalten ist.
3. In  $T_i$  ist kein Knoten mit Eigenschaft 1 und 2 enthalten, der eine kleinere Tiefe als  $v$  hat.



**Abbildung 1:** Der lower bound tree zur Zugriffsfolge 1, 2, ..., 15

Im Beweis dieses Abschnittes wird gezeigt das  $OPT(X) \geq \frac{IB(X)}{2} - n$  gilt, wobei  $n$  die Anzahl der Knoten im lower bound tree ist. Dafür werden jedoch noch drei Lemmas zu den Eigenschaften von  $Y$  benötigt.

**Lemma 1.1.** *Sei  $X = x_1, x_2, \dots, x_m$  eine Zugriffssequenz und  $Y$  ein zu  $X$  erstellter lower bound tree mit Schlüsselmenge  $K$ . Sei  $T_0$  der BST mit Schlüsselmenge  $K$  auf dem  $X$  ausgeführt wird. Für  $i \in \{1, 2, \dots, m\}$  sei  $T_i$  der BST der durch Ausführen von  $access(x_i)$  auf  $T_{i-1}$  entsteht. Sei  $U$  die Menge der Knoten von  $Y$ . Dann gibt es zu jedem Knoten  $u \in U$  und  $j \in \{0, 1, \dots, m\}$  genau einen transition point in  $T_j$ .*

*Beweis.* Sei  $l$  der kleinste Schlüssel in der linken Region von  $u$  und  $r$  der Größte. Im Teilbaum mit Wurzel  $u$  sind genau die Schlüssel  $K_l^r = \{k \in K | k \in [l, r]\}$  enthalten. Sei  $v_l$  der gemeinsame Vorfahre aller Knoten mit einem Schlüssel aus der linken Region von  $u$  in  $T_j$ , mit der größten Tiefe. Sei  $v_r$  der gemeinsame Vorfahre aller Knoten mit einem Schlüssel aus der rechten Region von  $u$  in  $T_j$ , mit der größten Tiefe.  $key(l)$  bzw.  $key(r)$  muss selbst in der linken bzw. rechten Region von  $u$  enthalten sein, vergleiche ?? . Sei  $w$  der gemeinsame Vorfahre aller Schlüssel aus der linken und der rechten Region von  $u$  in  $T_l^r$  mit der größten Tiefe. Es muss  $key(w) \in [l, r]$  gelten. Somit muss  $key(w)$  entweder in der linken oder rechten Region von  $u$  enthalten sein. Da

$w$  der Knoten mit der größten Tiefe sein muss, für den  $key(w) \in [l, r]$  gilt, muss entweder  $w = v_l$  oder  $w = v_r$  gelten, je nachdem wessen Tiefe kleiner ist. Für den Fall  $w = v_l$  ist  $v_r$  der transition point in  $T_j$  zu  $u$  und für den Fall  $w = v_r$  ist es  $v_l$ . Es wird der Fall  $w = v_l$  betrachtet, der andere kann direkt daraus abgeleitet werden. Im Pfad  $P_u = v_0, v_1, \dots, v_r$  von der Wurzel  $v_0$  zu  $v_r$  ist  $v_l$  enthalten und da  $v_r$  ein gemeinsamer Vorfahre der Schlüssel aus der rechten Region von  $u$  ist muss  $v_r$  der einzige Knoten mit einem Schlüssel aus der rechten Region von  $u$  in  $P_u$  sein. Jeder Pfad  $P$  in  $T_j$  von der Wurzel zu einem Knoten mit einem Schlüssel aus der rechten Region von  $u$  muss mit  $v_0, v_1, \dots, v_r$  beginnen, somit kann es keinen weiteren transition point für  $u$  in  $T_j$  geben.  $\square$

Der Knoten auf den der Zeiger  $p$  zum ausführen von *access* gerade zeigt wird als **berührter** Knoten bezeichnet. Im zweiten Lemma geht es darum, dass sich der transition point  $v$  eines Knoten nicht verändern kann, solange  $v$  nicht wenigstens einmal der berührte Knoten war. In den zwei verbleibenden Lemmas und dem Satz seien  $T_j$ ,  $X$ ,  $Y$ ,  $U$  und  $u$  wie in Lemma 1.1 definiert.

**Lemma 1.1.** *Sei  $v$  der transition point zu  $u$  in  $T_j$ . Sei  $l \in N$ , mit  $j < l \leq m$ . Gilt für alle  $x_i$ , mit  $i \in [j, l]$ , während der Ausführung von  $access(x_i)$ ,  $v$  war nicht wenigstens einmal der berührte Knoten, dann ist  $v$  während der gesamten Ausführungszeit von  $access(x_j)$ ,  $access(x_{j+1})$ , ...,  $access(x_l)$  der transition point zu  $u$  in  $T_l$ .*

*Beweis.* Sei  $v_l$  der gemeinsame Vorfahre aller Knoten mit einem Schlüssel aus der linken Region von  $u$  in  $T_j$ , mit der größten Tiefe. Sei  $v_r$  der gemeinsame Vorfahre aller Knoten mit einem Schlüssel aus der rechten Region von  $u$  in  $T_j$ , mit der größten Tiefe. Hier wird wieder ohne Verlust der Allgemeinheit der Fall  $v = v_r$  betrachtet. Da  $v_r$  nicht berührt wird, wird auch kein Knoten in der rechten Region von  $u$  berührt.  $v_r$  ist somit während der gesamten Ausführungszeit von  $access(x_j)$ ,  $access(x_{j+1})$ , ...,  $access(x_l)$  der gemeinsame Vorfahre der Schlüssel aus der rechten Region von  $u$  mit der größten Tiefe. Knoten mit Schlüssel in der linken Region von  $u$  könnten berührt werden. Zu einem Ausführungszeitpunkt  $t$  kann deshalb ein Knoten  $v_{li} \neq v_l$  mit einem Schlüssel aus der linken Region von  $u$  der gemeinsame Vorfahre der Knoten mit diesen Schlüsseln mit der größten Tiefe sein. Da  $v_r$  nicht berührt wird kann zu keinem Zeitpunkt  $v_l$  im Teilbaum mit Wurzel  $v_r$  enthalten sein. Somit kann auch  $v_{li}$  nicht in diesem Teilbaum enthalten sein. Somit muss die Tiefe von  $v_{li}$  kleiner sein, als die von  $v_r$  und  $v_r$  bleibt der transition point von  $u$ .  $\square$

Im dritten Lemma wird gezeigt dass ein Knoten  $v$  in  $T_j$  nur der transition point zu einem Knoten aus  $U$  sein kann.

**Lemma 1.1.** *Sei  $u_1, u_2 \in U$ , mit  $u_1 \neq u_2$ . Sei  $v$  ein Knoten in  $T_j$ .  $v$  kann nicht sowohl der transition point von  $u_1$ , als auch der von  $u_2$  sein.*

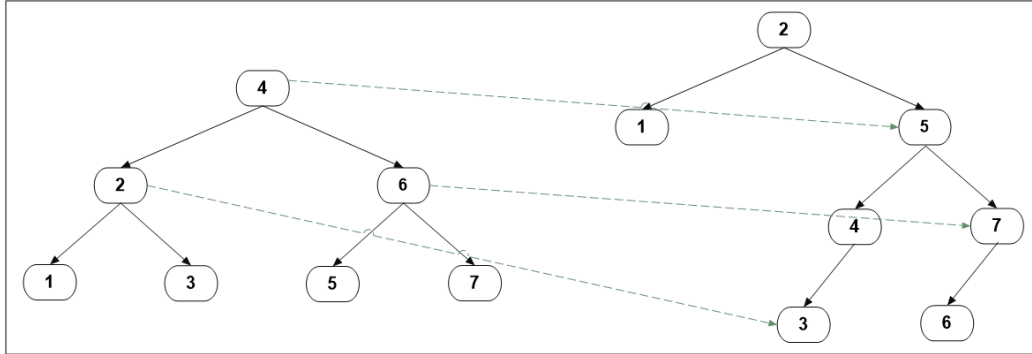
*Beweis.* Sei  $v_l$  bzw.  $v_r$  der gemeinsame Vorfahre aller Knoten mit einem Schlüssel aus der linken bzw. rechten Region von  $u_1$  in  $T_j$ , mit der größten Tiefe. Sei  $w_l$  bzw.  $w_r$  der gemeinsame Vorfahre aller Knoten mit einem Schlüssel aus der linken bzw. rechten Region von  $u_2$  in  $T_j$ , mit der größten Tiefe. Ist weder  $u_1$  ein Vorfahre von  $u_2$  noch  $u_2$  einer von  $u_1$ , dann muss auch  $w_l \neq v_l \wedge w_l \neq v_r$  sowie  $w_r \neq v_l \wedge w_r \neq v_r$  gelten, die Teilbäume mit Wurzel  $u_1$  und  $u_2$  dann über disjunkte Schlüsselmengen verfügen. Somit müssen die transition points von  $u_1$  und  $u_2$  unterschiedlich sein. Sei, ohne Verlust der Allgemeinheit,  $u_1$  ein Vorfahre von  $u_2$ . werden drei Fälle unterschieden:

1. Ist  $mathitkey(v_1)$  ist nicht im Teilbaum mit Wurzel  $u_2$  enthalten, so kann  $v_1$  nicht der transition point von  $u_2$  sein.
2.  $key(v_1)$  ist im Teilbaum mit Wurzel  $u_2$  enthalten und  $key(v_1)$  ist in der linken Region von  $u_1$  enthalten:  
Da  $u_1$  Vorfahre von  $u_2$  ist, müssen alle Schlüssel im Teilbaum mit Wurzel  $u_2$  in der linken Region von  $u_1$  enthalten sein. Da der Schlüssel von  $v_1$  in der linken Region von  $u_1$  liegt, muss  $v_r$  ein Vorfahre von  $v_l$  in  $T_j$  sein.  $key(v_1)$  muss somit der Schlüssel von  $w_l$  bzw.  $w_r$  sein, je nachdem wessen Tiefe kleiner ist. Denn andererseits könnte man einen Pfad von der Wurzel von  $T_j$  zu  $v_1$  angeben der zwei Knoten aus der linken Region von  $u_1$  enthält, dass ist jedoch ein Widerspruch dazu, dass  $key(v_1)$  in der linken Region von  $u_1$  enthalten ist und  $v_1$  zudem der transition point für  $u_1$  ist.  
 $v_2$  ist entweder der Knoten  $w_l$  oder  $w_r$ , je nachdem wessen Tiefe größer ist, somit gilt  $v_1 \neq v_2$ .
3.  $key(v_1)$  ist im Teilbaum mit Wurzel  $u_2$  enthalten und  $key(v_1)$  ist in der rechten Region von  $u_1$  enthalten:  
Symmetrisch zu Fall 2.

□

**Satz 1.1.** *Für eine Zugriffssequenz  $X = x_1, x_2, \dots, x_m$  und  $n$  die Anzahl der Knoten in zu  $X$  erstellten lower bound tree. Dann gilt*  

$$OPT(X) \geq IB(X)/2 - n.$$



**Abbildung 2:** Transition point Zuordnung. Links ein lower bound tree, rechts ein möglicher  $T_j$ .

*Beweis.* Es wird die Mindestanzahl der Berührungen von transition points gezählt. Durch 1.1 kann die Anzahl der Berührungen für jedes  $y \in P$  einzeln bestimmt werden, diese müssen dann lediglich noch aufaddiert werden. Sei  $l, r, v_r$  und  $v_l$  wie in Lemma 1 zu  $y$  definiert, so dass entweder  $l$  oder  $r$  der transition point zu  $y$  sein muss, je nachdem welcher der beiden Knoten die größere Tiefe hat (??). Sei  $X_l^{r'} = x_{i_1}, x_{i_2}, \dots, x_{i_p}$  die Folge die entsteht, wenn aus  $X_l^r$  alle  $x_k$  entfernt werden, für die gilt  $x_k$  ist in der gleichen Region von  $y$  wie  $x_{k-1}$ . Nun wird angenommen, dass die  $x_{j_i}$  mit  $i$  ist gerade in der rechten Region von  $y$  liegen, und die  $x_{j_i}$  mit  $i$  ist ungerade in der linken Region. Der andere Fall kann wieder direkt abgeleitet werden. Sei  $q \in \mathbb{N}$  mit  $1 \geq q \geq \lfloor p/2 \rfloor$ .  $\text{access}(x_{i_{2q-1}})$  muss  $v_l$  berühren und  $\text{access}(x_{i_{2q}})$  muss  $v_r$  berühren. Sei  $ki_{2q-1}$  der Schlüssel des transition point von  $y$  zu Beginn von  $\text{access}(x_{i_{2q-1}})$  und  $ki_{2q}$  der Schlüssel des transition point von  $y$  zu Beginn von  $\text{access}(x_{i_{2q}})$ . Gilt  $ki_{2q-1} = ki_{2q}$  so muss der transition point von  $y$  in  $\text{access}(x_{i_{2q}})$  berührt worden sein. Gilt  $ki_{2q-1} \neq ki_{2q}$  so muss der transition point von  $y$ , nach 1.1, in  $\text{access}(x_{i_{2q-1}})$  berührt worden sein. Aus der Konstruktion von  $X_l^{r'}$  folgen daraus mindestens  $\lfloor p/2 \rfloor \geq p/2 - 1$  Berührungen des transition point von  $y$ . Aufaddieren über alle Knoten ergibt eine Anzahl von Berührungen von transition points von zumindest  $IB(X)/2 - |U| \geq IB(X)/2 - n$ .

□

## 1.2 Aufbau des Tango Baum

Wie bereits erwähnt besteht ein Tango Baum  $T$  mit Schlüsselmenge  $K$  aus Hilfsbäumen.  $T$  bietet lediglich eine *access* Operation an. Ist  $T$  also erst einmal für  $K$  erzeugt, ist seine Schlüsselmenge unveränderlich. Sei  $P$  der lower bound tree aus Abschnitt 1.1 mit Schlüsselmenge  $K$ .  $P$  ist kein Hilfsbaum

und muss in Implementierungen auch nicht erstellt werden. Er dient aber dazu den Aufbau von  $T$  vor und nach einer *access* Operation zu veranschaulichen. Jeder innere Knoten  $p$  in  $P$  kann ein **preferred child** haben. Wurde während der Ausführungszeit von  $X$  noch keine *access* Operation mit einem im Teilbaum mit Wurzel  $p$  enthalten Schlüssel als Parameter ausgeführt, so hat  $p$  kein preferred child. Ansonsten sei  $access(k)$  die zuletzt ausgeführte Operation mit einem Schlüssel der im Teilbaum mit Wurzel  $p$  enthalten ist. Liegt  $k$  in der linken Region von  $p$ , dann ist das linke Kind von  $p$ , das preferred child von  $p$ . Ist  $k$  in der rechten Region von  $p$  enthalten, dann ist das rechte Kind von  $p$ , das preferred child von  $p$ . Wir erweitern die Knoten von  $P$  mit einer weiteren Variable *prefChild* welche drei Werte annehmen kann. Sie enthält *none* wenn ihr Knoten kein preferred Child besitzt, *left* wenn das linke Kind das preferred child ist, ansonsten entsprechend *right*. Hier kann man bereits die Kopplung zur interleaved lower bound erkennen. Ein Wechsel von *prefChild* von *left* zu *right*, oder umgekehrt, findet genau dann statt, wenn es zu einem interleaved durch den Knoten der Variable kommt. Abbildung 3 stellt einen möglichen Zustand von  $P$  zwischen zwei *access* Operationen dar. Man erkennt zum Beispiel sofort, dass der Parameter der letzten *access* Operation 8, 4, 2 oder 1 gewesen sein muss, da man von der Wurzel aus über preferred child zu den Knoten mit diesen Schlüsseln gelangen kann. Die Schlüssel 10 und 9 können noch nie Parameter einer *access* Operation gewesen sein, ansonsten müsste der Knoten mit dem Schlüssel 10 ein preferred child haben

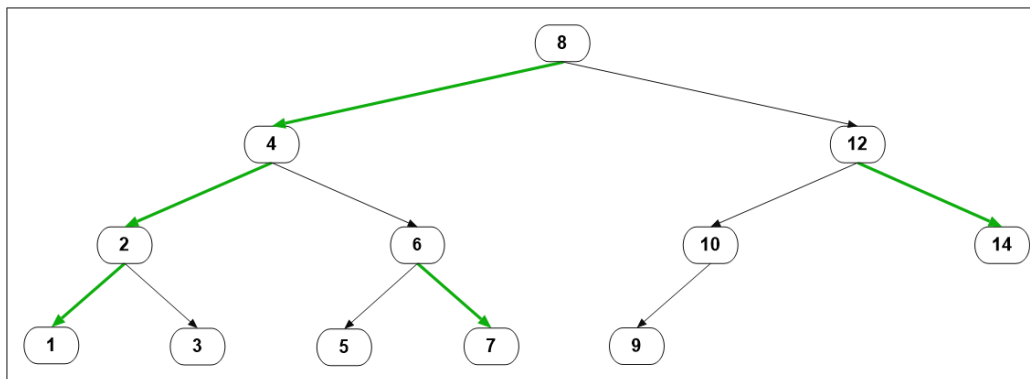


Abbildung 3: Die preferred childs werden durch die grünen Pfeile markiert.

### 1.3 Die *access* Operation beim Tango Baum

### 1.4 Laufzeitanalyse



## Literatur

- [1] Erik D. Demaine, Dion. Harmon, John. Iacono, and Mihai. Patrascu. Dynamic optimality—almost. *SIAM Journal on Computing*, 37(1):240–251, 2007.